



5-6 Juin 2019

■ Apport de la méthode LASAT (choc laser) pour l'étude de systèmes revêtus métal/céramique en présence d'une couche d'oxyde

Vincent Guipont

vincent.guipont@mines-paristech.fr

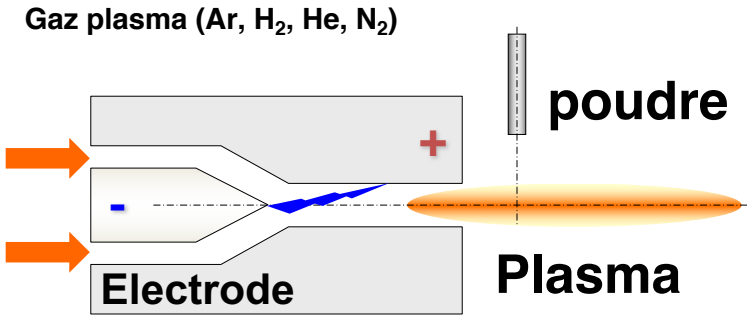
Coll: V.Maurel, C.Duhamel



Journées « Couplage Mécanique/Diffusion/Oxydation », UTC

Revêtements particuliers par projection

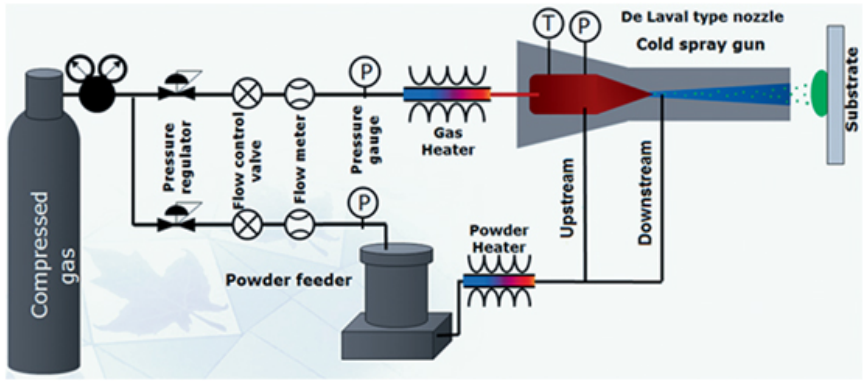
Projection Plasma CAPS



- APS
- VPS

CAPS enceinte multiprocédés (plasma, cold spray,...)

Projection Dynamique par Gaz Froid 'Cold Spray'



Modern Cold Spray: Materials, Process, and Applications," 2015, Springer



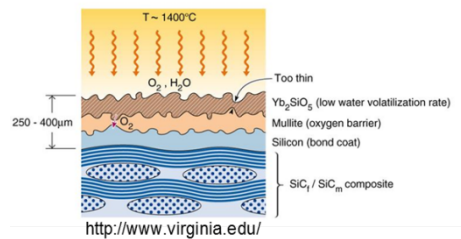
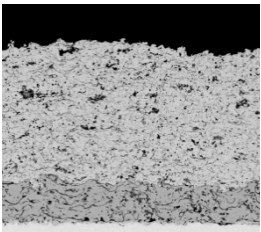
CGT - Kinetiks 3000

**P: 0,5-3,0 Mpa / Gaz: Azote, Hélium / T: 200-600° C
Buse De-Laval / Injection axiale**

Revêtements particulaires par projection

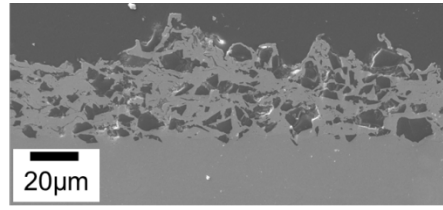
Versalité des solutions de dépôt

- Multicouches / Systèmes fonctionnels



ex.: Barrière thermique (TBC) Barrière Environnementale (EBC) par plasma

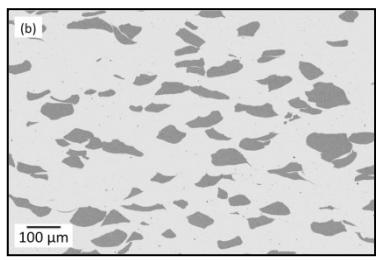
- Composites / multimatériaux



B₄C/Ni cold spray

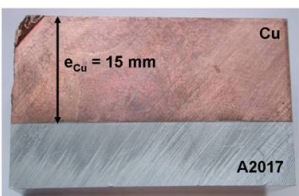


Dépôt de mélange 70/30
25mm
Cu/PEEK sur CMO



Ag/Cu cold spray

- Fabrication additive/Réparation (cold spray)



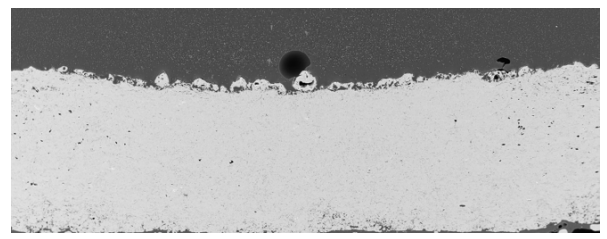
Combinaison des procédés



YSZ plasma / MCrAlY Cold Spray



Cold Spray Cu / plasma Al₂O₃



Plasma Al + Choc laser

Dépôt particulaire état liquide ou vapeur

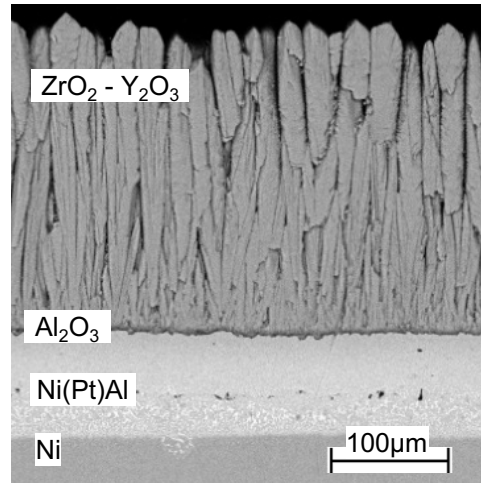
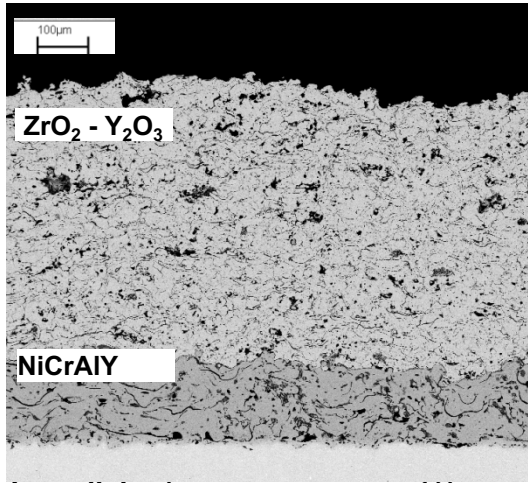
Dépôts céramiques poreux type BT « barrière thermique »

SOUS AIR

SOUS VIDE

APS

EB-PVD

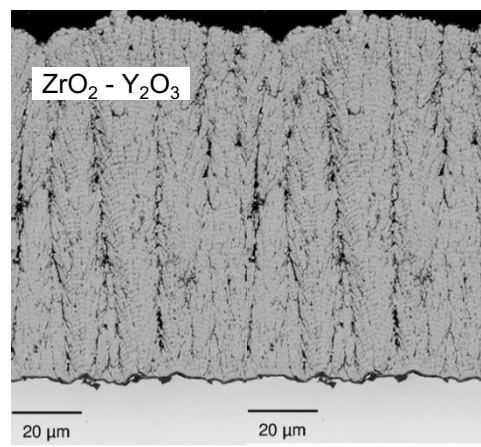
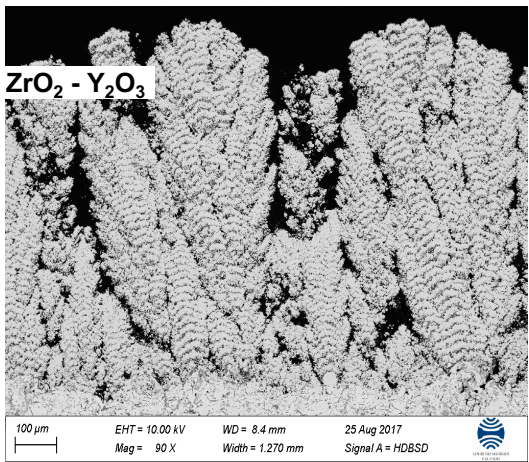


Lamellaire (conv. ou segmenté)

Colonnaire (cible)

SPS

PS-PVD



Colonnaire, suspension liquide poudre <1µm (S.Sampath, Stony Brook U.)

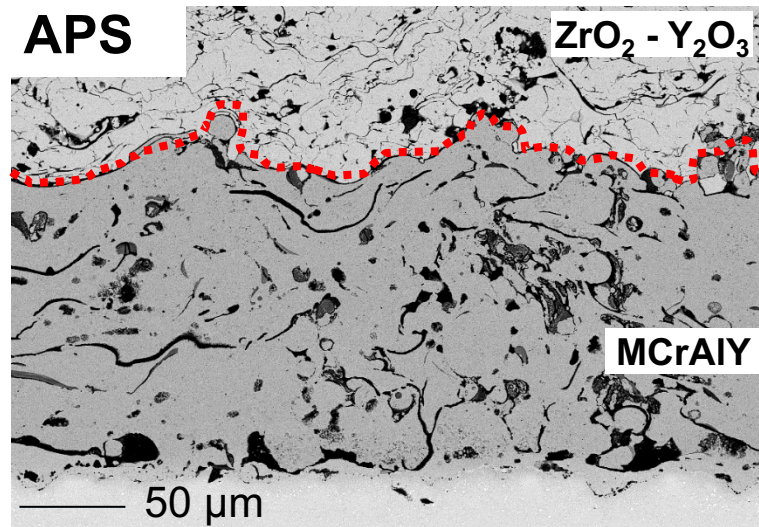
Colonnaire par PS-PVD (poudre fine voie sèche) (Oerlikon Metco; Malko Gindrat)

“Design” d’interfaces : cas des BT

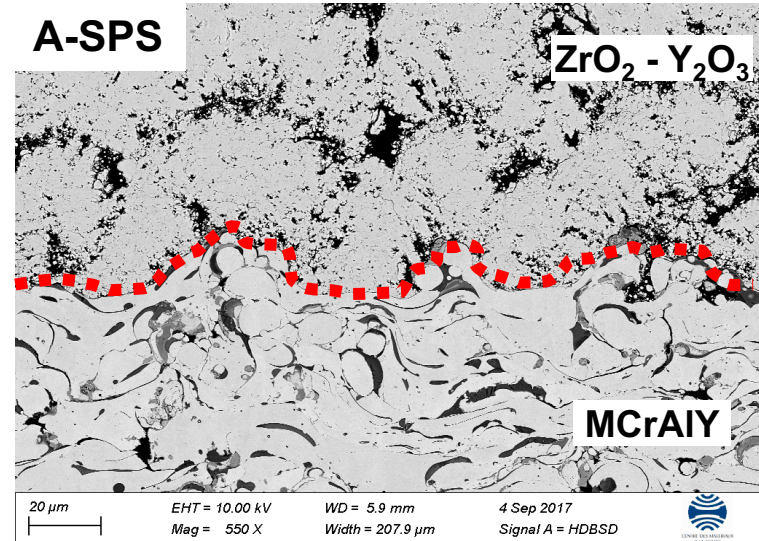
SOUS AIR

SOUS VIDE

APS

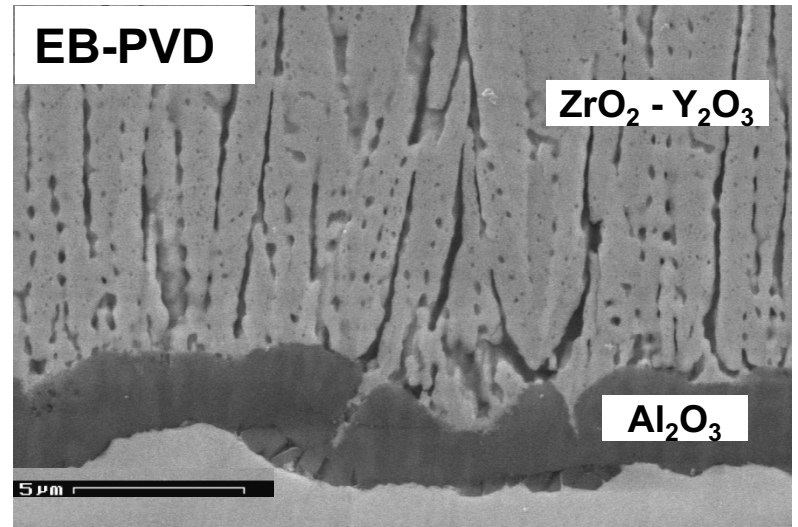


A-SPS

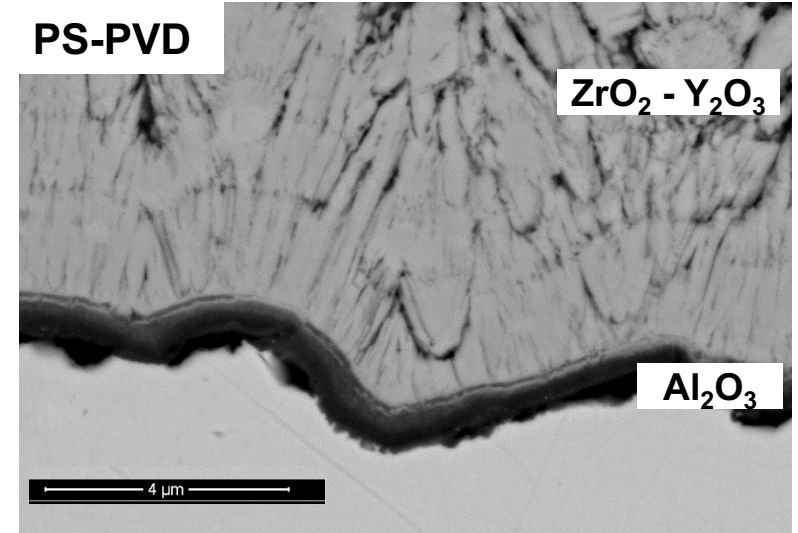


(coll. S.Sampath, Stony Brook U.)

EB-PVD



PS-PVD

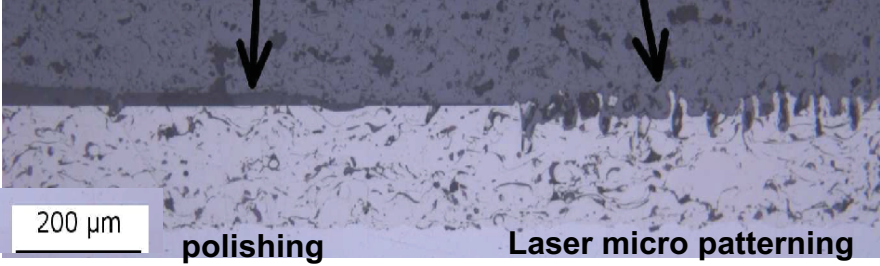


(fourni par Oerlikon Metco; Malko Gindrat)

Design d'interface: adhérence, tenue fissuration

A l'état initial:

1- Aspects morphologiques



MICRO

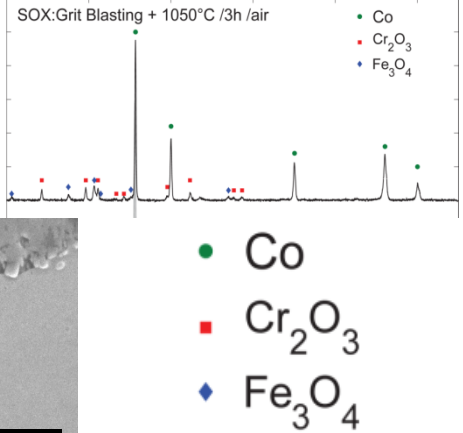
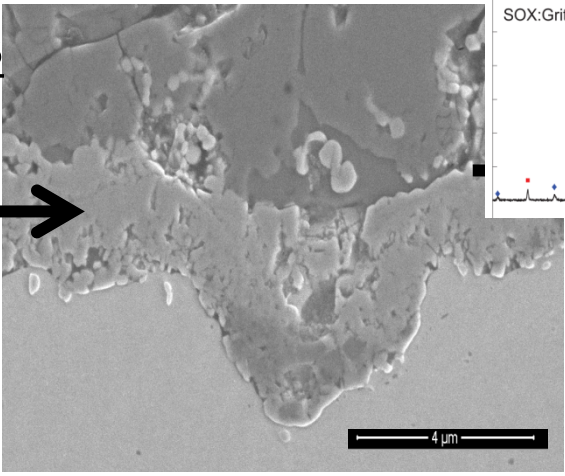
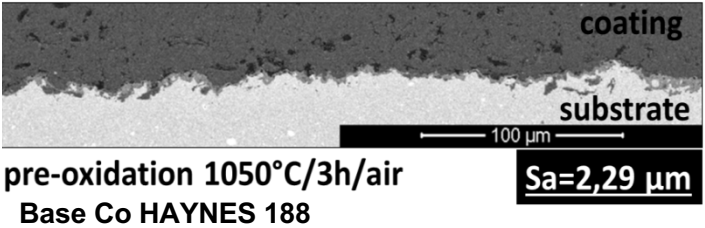
- Rugosification (aléatoire)
- Structuration (motif)

MACRO

- Rugosification (aléatoire)
- Structuration (motif)

GRADIENTS
Mélange de deux constituants

2- Aspects physico-chimiques



3- Aspects mécaniques:

Coefficient de dilatation
Contraintes résiduelles

Microstructure du dépôt (proche interface)

Problématiques du design des interfaces

Comment améliorer les designs d'interface à notamment ceux relatifs aux nouveaux systèmes revêtus?



→ Evaluer facilement, de manière robuste et répétable la tenue mécanique initiale de l'interface la plus faible et représentative de l'endommagement en service

→ Contrôler l'évolution de cette tenue mécanique:

- sur échantillons en conditions de vieillissement
- sur pièce réelle, si possible de manière non destructive



LASAT



Appréhender les modes d'endommagement prépondérant en relation avec les aspects morphologiques, physico-chimiques et mécaniques initiaux (macro/micro)



Aide à la prévision de durée de vie



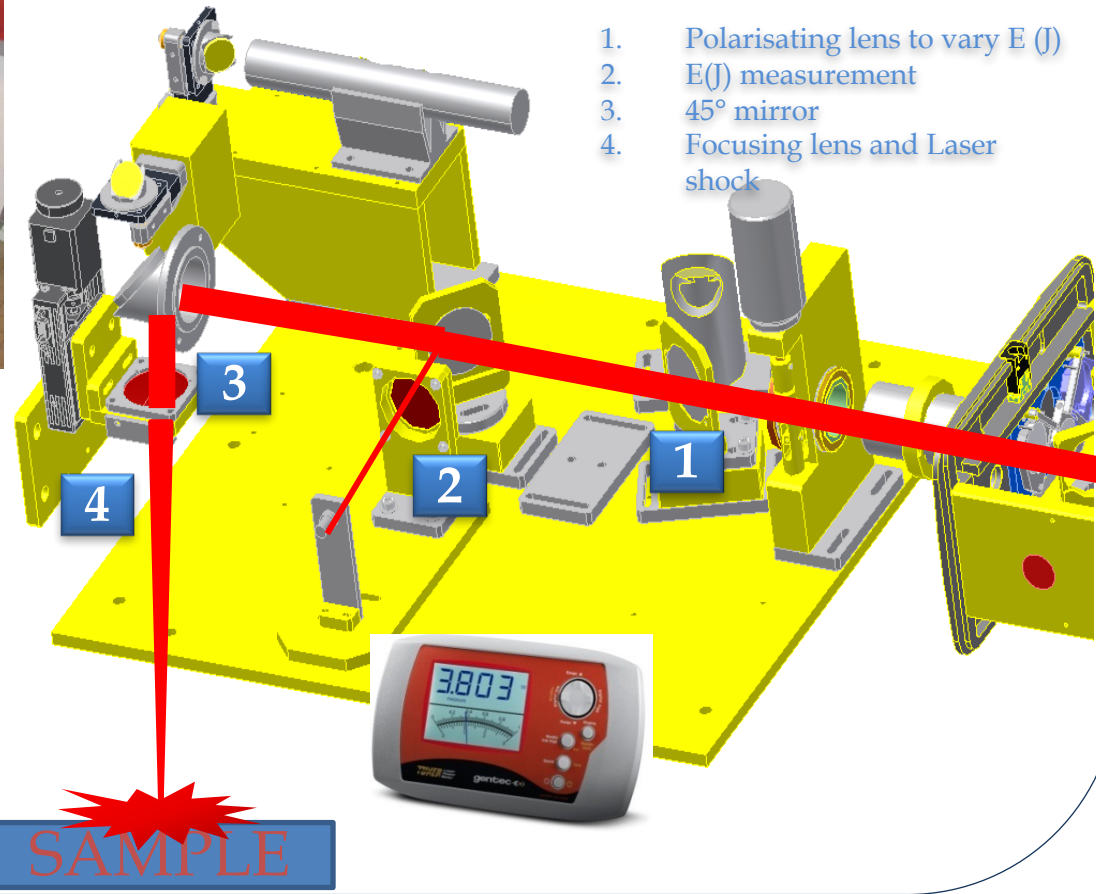
Retour sur les procédés

LASAT (Laser Shock Adhesion Test)

Etude des interfaces de dépôts et mesure de l'adhérence par choc laser (LASAT)



- Saga –Thales Laser :
 - maximum energy: 2J
 - pulse duration: 7 ns
 - wavelength: 532 nm
- Laser power density: 0,1-10GW/cm²

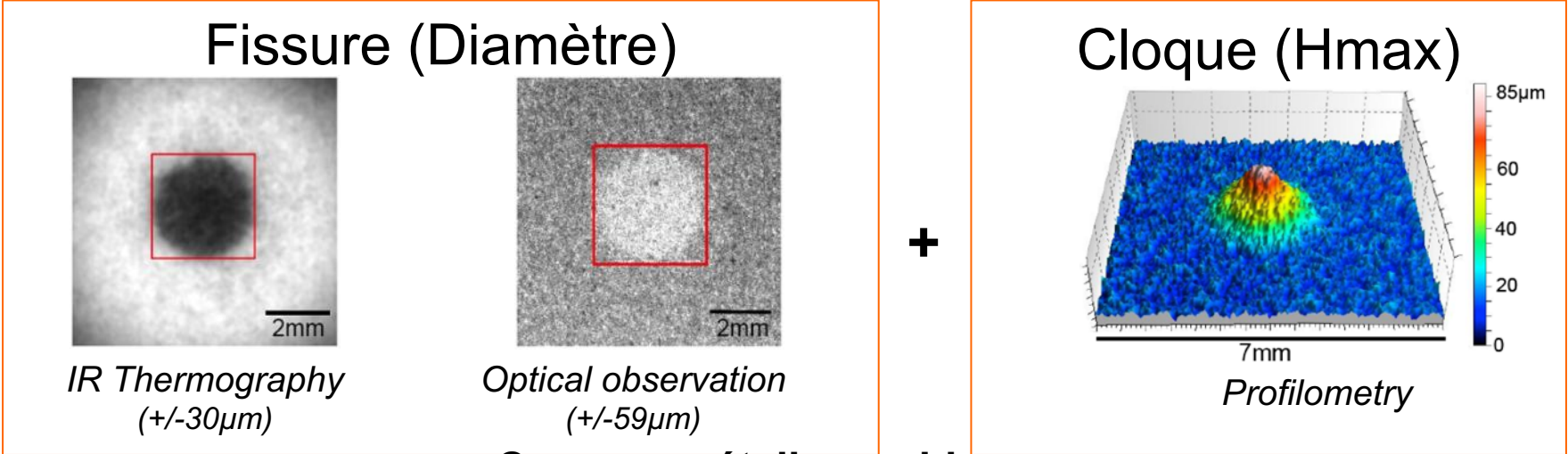


- ~ GPa , $\dot{\epsilon} > 10^4 \text{ s}^{-1}$
- No specific geometry
- No contact
- Local assessment
- Debonding threshold

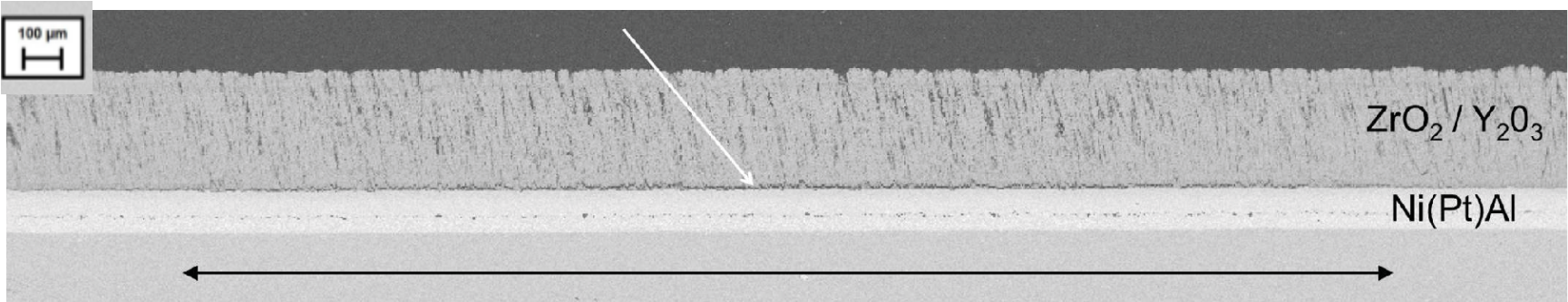
Travaux amorcés en 2000
 projet LASAT MNRT MINES (M. Jeandin)-ENSMA (M. Boustie)-ENSAM (L. Berthe)

Choc laser sur dépôts céramiques

Caracterisation non destructive de la fissure

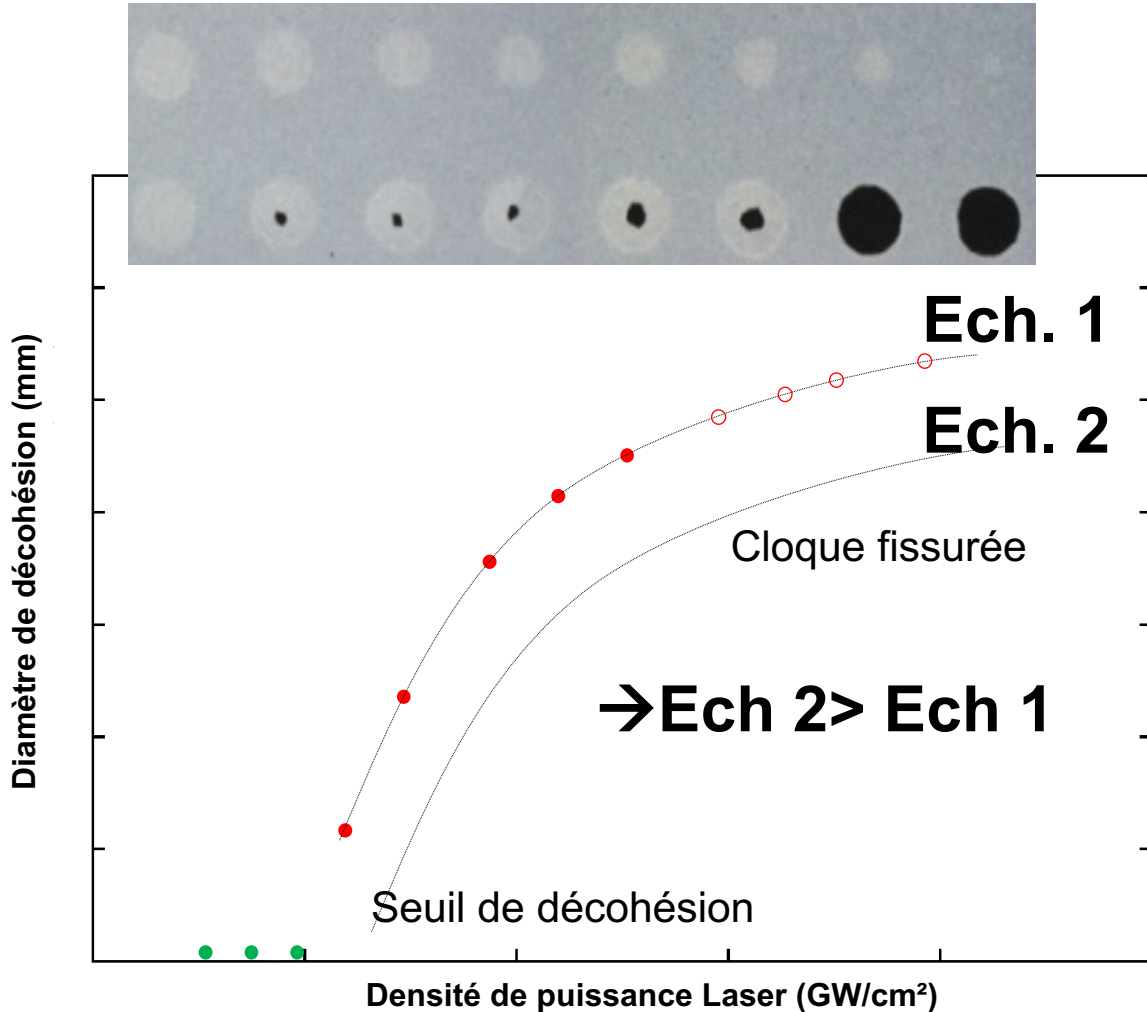


Coupes métallographiques



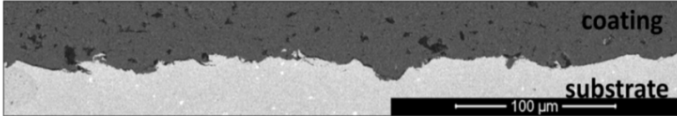
- Plasma (HAP, Alumine, YSZ) , EB-PVD YSZ, Plasma DSY EBC
- Adhérence par LASAT, t=0 et au cours du vieillissement
- Propagation de pré-fissures provoquées par choc laser

Méthode des courbes LASAT-2D



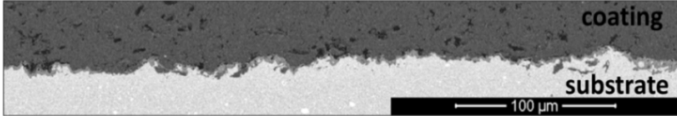
- Taille de fissure augmente avec E_{laser}
- Position des courbes → comparaison directe de l'adhérence

LASAT-2D (Alumine plasma)



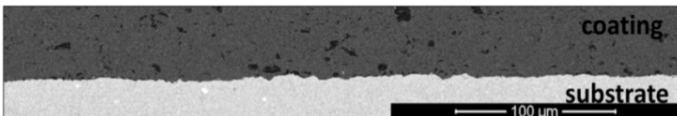
AG: alumina grit blasting

Sa=3.32 µm



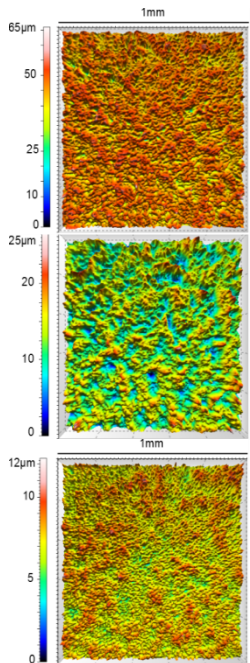
AGP: AG+ pre-oxidation 1050°C/3h/air

Sa=2.29 µm

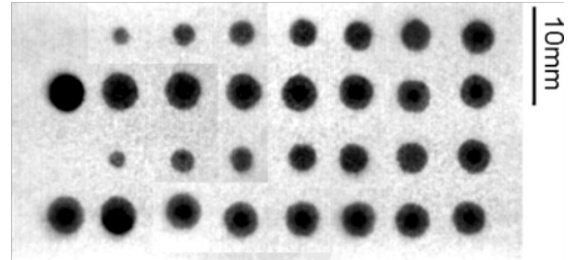


GB: glass beads blasting

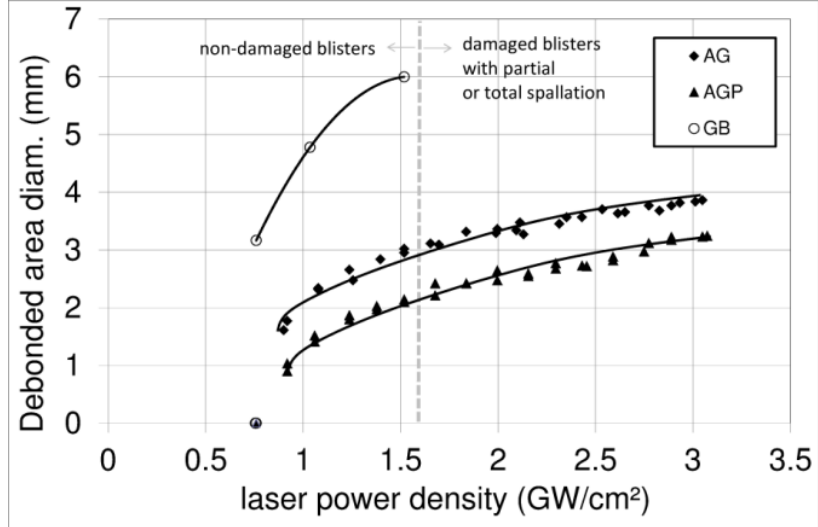
Sa=0.82 µm



Ø_{laser} = 2.2mm
e.g. AG, IR Imaging



S parameters	AG	AGP	GB
S _{av} Average roughness (µm)	3.32	2.29	0.82
S _{SK} Skewness	-1.11	-.015	0.22
S _{Ku} Kurtosis	8.48	3.85	3.66
SΔ _{qr} Root mean square slope	0.86	0.35	0.19
S _{drr} Developed area ratio (%)	31.5	3.9	1.8



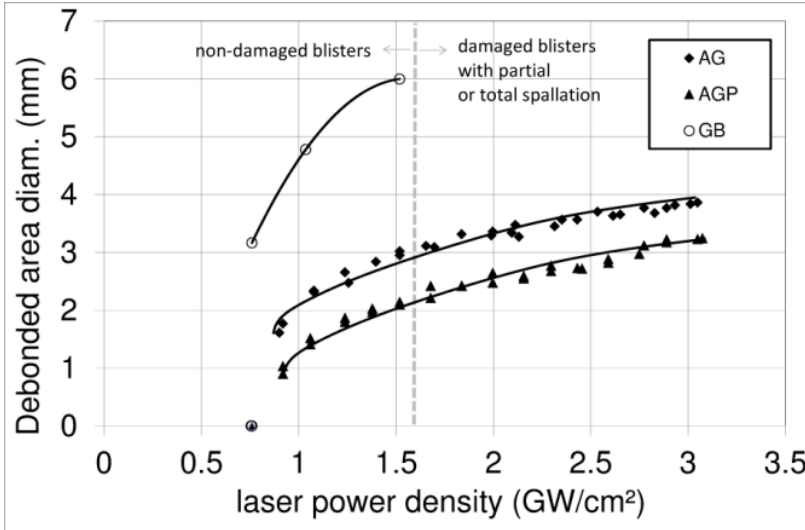
Adhérence
AG+Pre-Ox. > AG >> GB



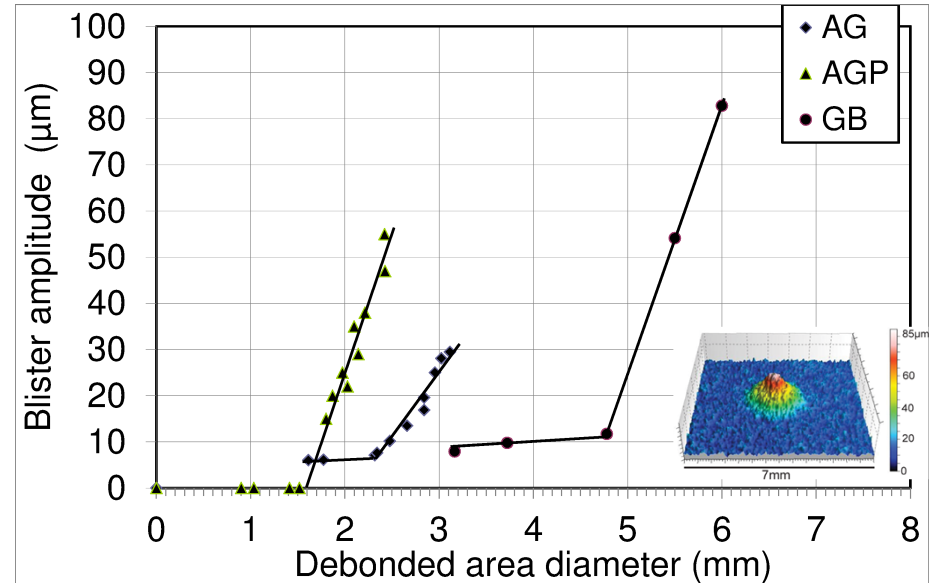
Seuil de rupture GW/cm² → MPa (calculs onde de choc, calibration interférométrie VISAR)

LASAT-2D (Alumine plasma)

COURBES LASAT-2D

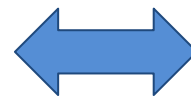


Evolution du cloquage $\delta = f(\varnothing_{\text{fissure}})$



**Adhérence
(décohésion)**

**Relaxation Contraintes résiduelles
(cloquage)**



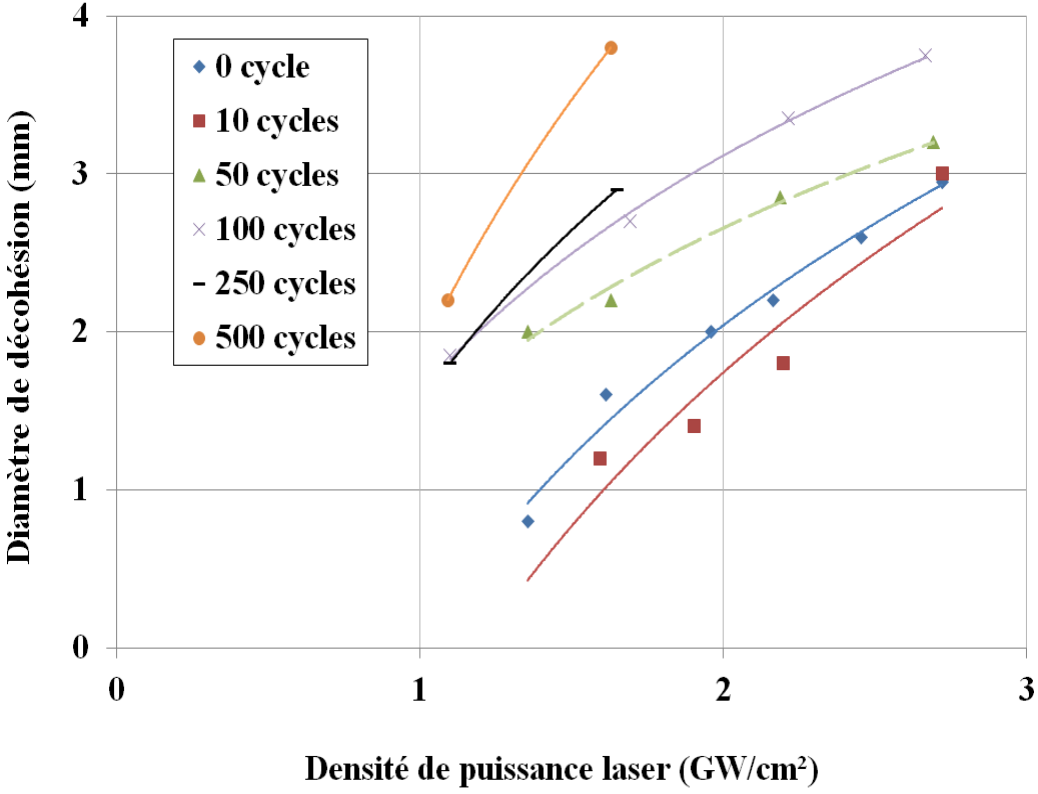
AG+Pré-Ox > AG >> GB

**compression
AG+Pré-Ox > AG >> GB**

LASAT sur BT EB-PVD + cyclage thermique

Courbes LASAT 2D après N cycles sur le même éch.

EX: Ech. >500cycles (1100C/1H)



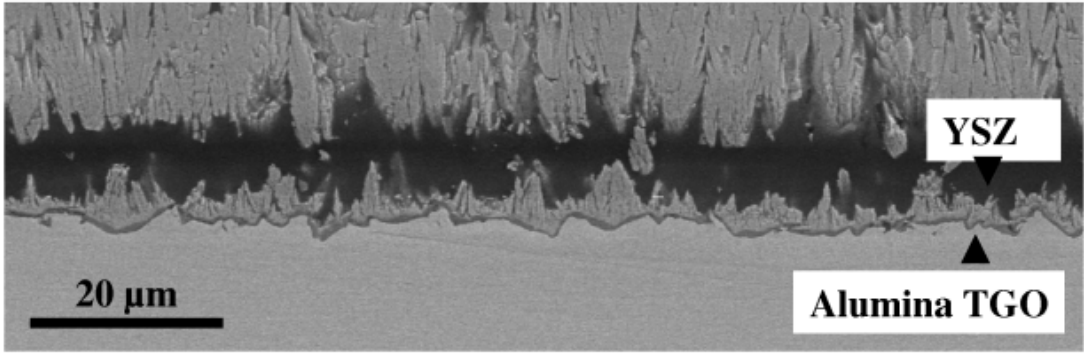
Après 500 cycles

Adhérence augmente après 10 cycles (rupture au dessus TGO) puis décroît

G. Bégué, PHD Thesis MINES ParisTech 2023

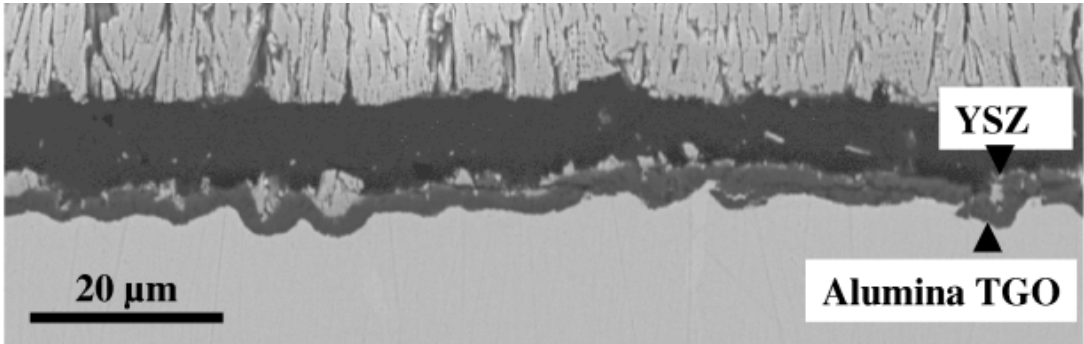
Fissure interfaciale induite par choc laser

Après dépôt → fissure dans la céramique



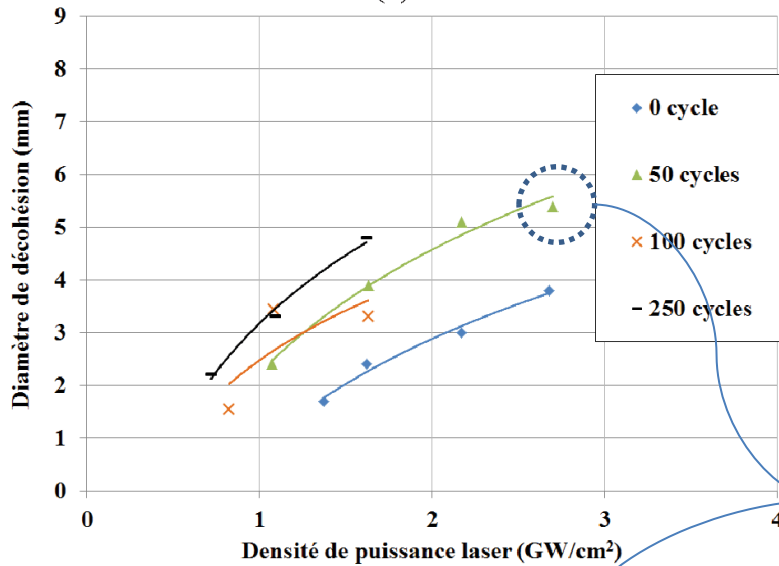
Mise en évidence de la zone de ténacité plus faible

Après cyclage → fissure TGO/céramique

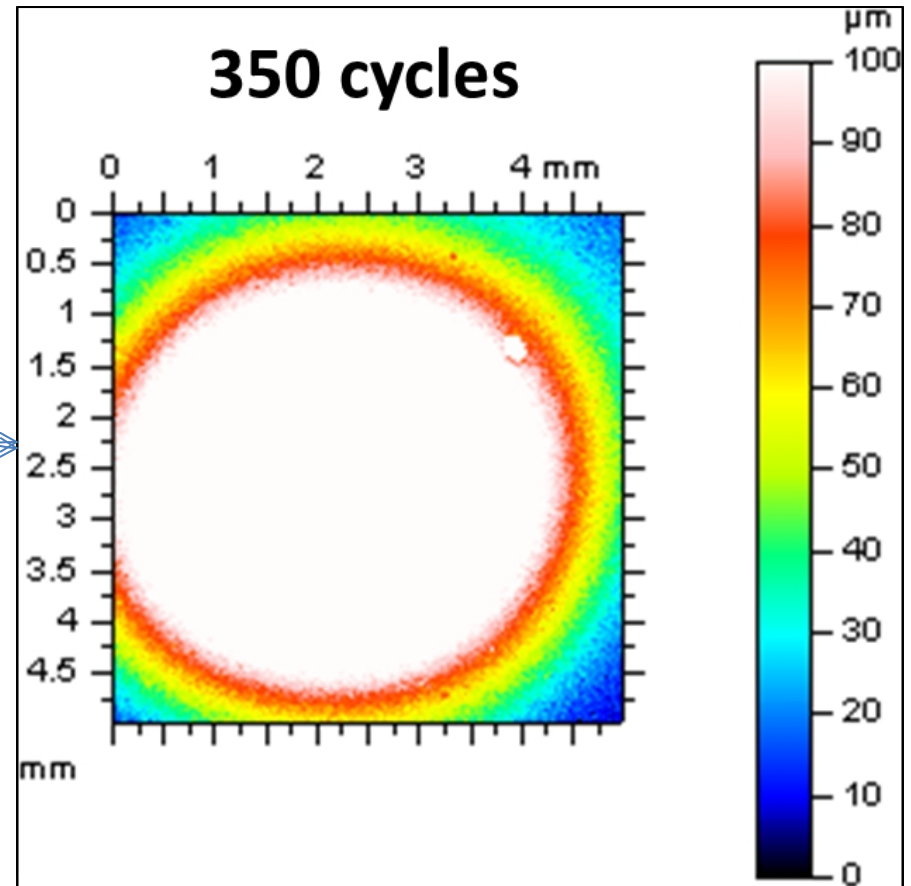
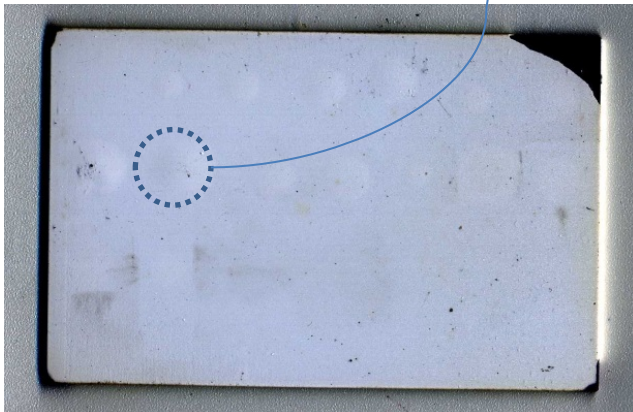


Comportement similaire lors d'un écaillage provoqué uniquement par le cyclage thermique

- Ech BT EB-PVD: LASAT à 0, 50, 100, 250 cycles à 1100C/1H

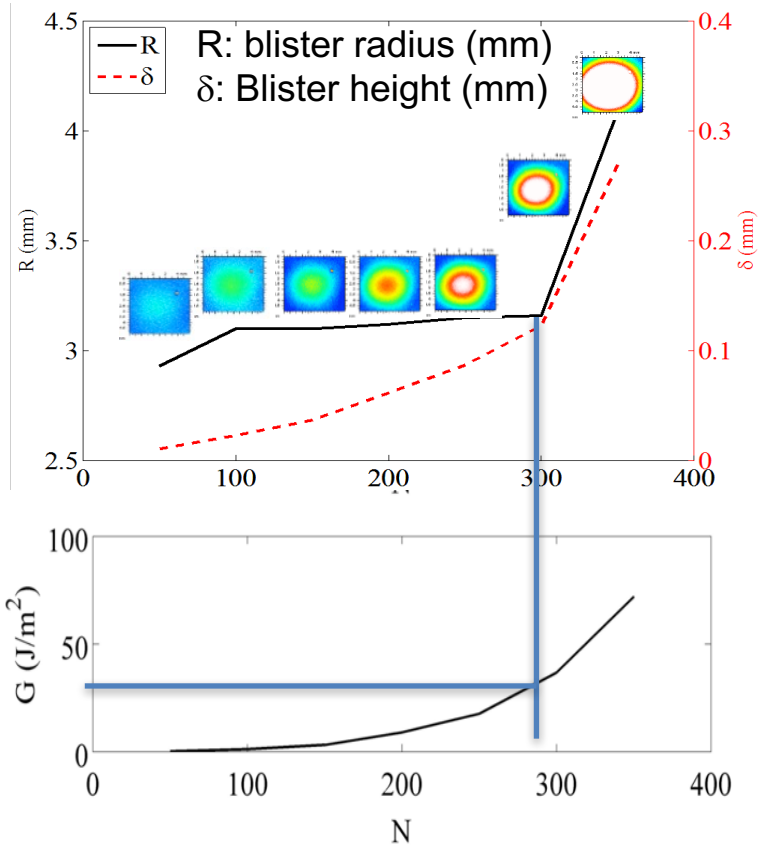
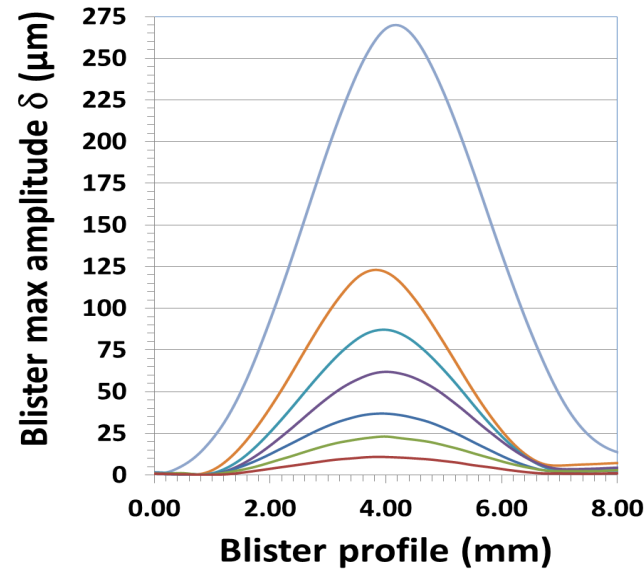
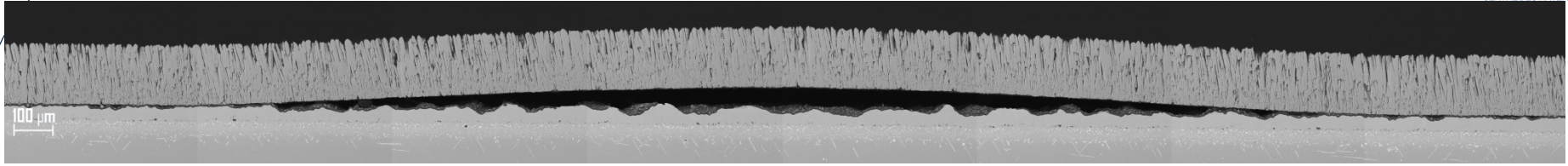


- après 250 cycles



- Ecaillage à 400 cycles

Analyse *Ex situ* du cloquage / cyclage thermique



- Buckling is activated while delamination is not: effect of “rumpling”?
- At $N=300$, delamination $G=G_c$

G_c at 300 cycles = 36 J/m²

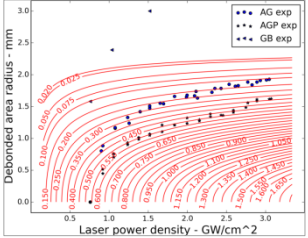
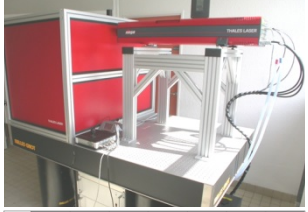
[Guipont, Fabre, Begue and Maurel, SCT under review]

LASAT-aided studies of coating's interface strength

LASAT Laser Shock Adhesion Test

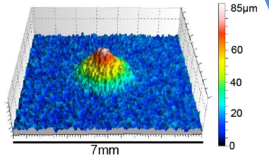
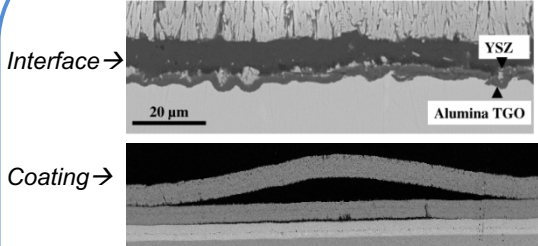
Adhesion

- **Laser shock facility**
 - ~ 1-5 GPa, $\epsilon' > 10^4 \text{ s}^{-1}$
 - No specific geometry
 - No contact, Local
- **Failure threshold**
- **LASAT 2D**
- **Non-destructive LASAT on parts**
- **Towards normalization (Biomed.)**
- **Modelling (Hydro, CZM)**

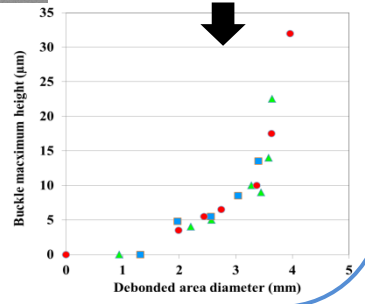


Damage and mechanical properties

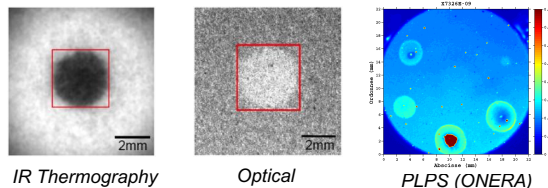
Post-mortem crack analyses



Residual stress release



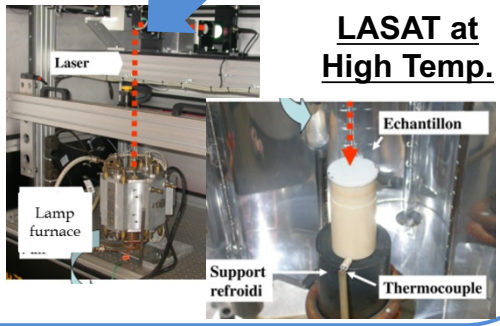
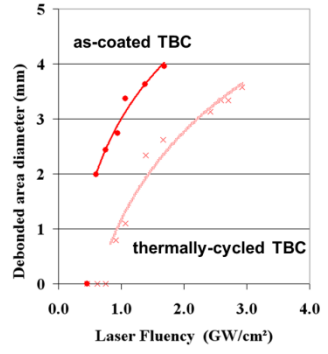
Laser Shock experiments with controlled debonding of coatings



e.g. : debonding of ceramic coatings
Non destructive evaluation

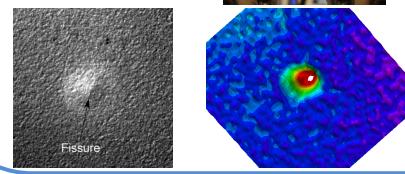
Blister height vs. crack diameter

LASAT after thermal cycling



LASAT at High Temp.

- Crack and blister analyses under shear loading at room T



Pre-crack by LASAT (Coll. V.Maurel, A. Koster)

- Crack and blister analyses during thermal cycling

